MINISTÉRIO DAS MINAS E ENERGIA

DEPARTAMENTO NACIONAL DA PRODUÇÃO MINERAL

CONVÊNIO DNPM - CPRM

PROJETO COBRE — CURAÇÁ

RELATÓRIO FINAL

GEOLOGIA ECONÔMICA DO DISTRITO CUPRÍFERO DO RIO CURAÇÁ

BAHIA BRASIL

M A P A S

VOLUME I - B

I-96

CPRM
SUREMI
SEDOTE
ARQUIVO TÉCNICO
Relatório n.º 459_S
N.º de Volumes: 30 V.: 1B
OSTENSIVO

PHL-010761

Inácio de Medeiros Delgado

João Dalton de Souza

COMPANHIA DE PESQUISA DE RECURSOS MINERAIS

DIRETORIA DE OPERAÇÕES

AGÊNCIA SALVADOR

1975

PROJETO COBRE - CURAÇÁ

RELATÓRIO FINAL

ÍNDICE DOS VOLUMES

VOL.	I - A	TEXTO	**GEOLOGIA ECONÔMICA DO DISTRITO CUPRÍFERO DO RIO CURAÇÁ**
VOL.	I - B	ANEXO	MAPAS
VOL.	II - A	TEXTO	**GEOLOGIA DO DISTRITO CUPRÍFERO DO RIO CURAÇÁ**
VOL.	II - B	ANEXO	MAPAS DE PONTOS E CAMINHAMENTO E MAPAS GEOLÓGICOS
VOL.	II - C	ANEXO	FICHAS DE DESCRIÇÃO DE AFLORAMENTOS
VOL.	II - D	ANEXO	FICHAS DE DESCRIÇÃO DE AFLORAMENTOS
VOL.	II - E	ANEXO	FICHAS DE DESCRIÇÃO DE AFLORAMENTOS
VOL.	II - F	ANEXO	FICHAS DE DESCRIÇÃO DE AFLORAMENTOS
VOL.	II - G	ANEXO	FICHAS DE DESCRIÇÃO DE AFLORAMENTOS
VOL.	II - H	ANEXO	FICHAS DE DESCRIÇÃO DE AFLORAMENTOS
VOL.	II - I	ANEXO	FICHAS DE ANÁL. PETROGRÁFICAS E BOLETINS DE ANÁL. QUÍMICAS
VOL.	III	TEXTO	**NOTA EXPLICATIVA DAS FOLHAS GEOLÓGICAS 15' x 15'**
VOL.	IV - A	TEXTO	**METODOLOGIA E SISTEMÁTICA DE PROSPECÇÃO**
VOL.	IV - B	ANEXO	PLANTAS E PERFIS
VOL	V - A	TEXTO	**PROSPECÇÃO GEOQUÍMICA DE SEDIMENTOS DE CORRENTE**
VOL	V - B	ANEXO	MAPAS GEOQUÍMICOS
VOL.	VI - A	TEXTO	**PESQUISA COMPLEMENTAR DE ALGUMAS ÁREAS MINERALIZADAS**
VOL.	VI - B	ANEXO	PLANTAS E PERFIS
VOL.	VII - A	TEXTO	**PROSPECÇÃO DOS ALVOS**
VOL.	VII - B	ANEXO	PLANTAS E PERFIS
VOL.	VII - C	ANEXO	PLANTAS E PERFIS
VOL.	VII - D	ANEXO	PLANTAS E PERFIS
VOL.	VII - E	ANEXO	PLANTAS E PERFIS
VOL.	VII - F	ANEXO	CADERNETAS DE GEOFÍSICA E BOLETINS DE ANÁLISES QUÍMICAS
VOL.	VIII - A	TEXTO	**DEPÓSITOS DE COBRE DE L. DA MINA E C. VELHO - FAZ ANGICO**
VOL.	VIII - B	ANEXO	PLANTAS E PERFIS
VOL	VIII - C	ANEXO	PERFIL COMPOSTO DE SONDAGEM
VOL.	IX - A	TEXTO	**DEPÓSITO DE COBRE DE PIRULITO - FAZ. SERTÃOZINHO**
VOL.	IX - B	ANEXO	PLANTAS E PERFIS
VOL.	IX - C	ANEXO	PERFIL COMPOSTO DE SONDAGEM

CPRM

LISTA DE ANEXOS

Anexo I - Mapa geológico (1:50.000) da folha de Caraíba.

Anexo II - Mapa geológico (1:50.000) da folha de Poço de Fora.

Anexo III - Mapa geológico (1:50.000) da folha de Barro Vermelho.

Anexo IV - Mapa geológico (1:50.000) da folha de Curaçá.

Anexo V - Representação gráfica dos valores de cobre solúvel dosados em amostras de sedimentos de corrente, coletadas nos riachos da folha de Caraíba.

Anexo VI - Representação gráfica dos valores de cobre solúvel dosados em amostras de sedimentos de corrente, coletadas nos riachos da folha de Poço de Fora.

Anexo VII - Representação gráfica dos valores de cobre solúvel dosados em amostras de sedimentos de corrente, coletadas nos riachos da folha de Barro Vermelho.

Anexo VIII - Mapa de localização das áreas prospectadas em detalhe (Alvos "S" e "L") da folha de Caraíba.

Anexo IX - Mapa de localização das áreas prospectadas em detalhe (Alvos "S" e "L") da folha de Poço de Fora.

Anexo X - Mapa de localização das áreas prospectadas em detalhe (Alvos "S" e "L") da folha de Barro Vermelho.

Anexo XI - Mapa preliminar metalogênico previsional do Distrito Cuprífero do Rio Curaçá.

Anexo XII - Mapa Geológico do Distrito Cuprífero do Rio Curaçá (1:100.000).

CARAÍBA
SC. 24-V-D-V-3

MINISTÉRIO DAS MINAS E ENERGIA
DEPARTAMENTO NACIONAL DA PRODUÇÃO MINERAL

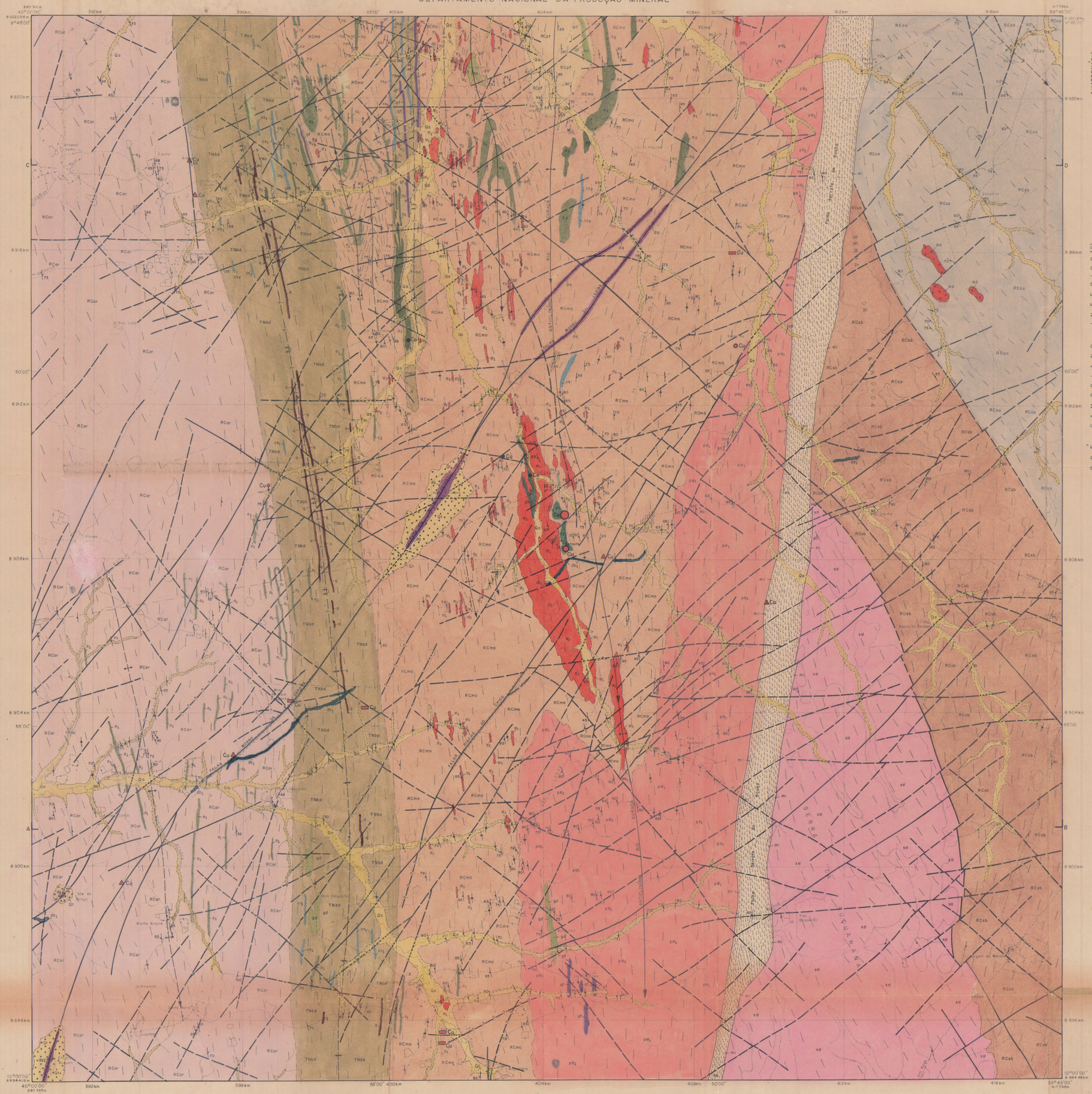

CONVENÇÕES

- Qa, Qt — Aluvião (Qa), Talus (Qt).
- dq — Dique de quartzo milonitizado ou cataclasado
- Dd — Dique de diabásio.
- mi — Milonito, blastomilonito e cataclasito da falha Serrote do Souza
- Gd — Granodiorito róseo de granulação média a grosseira
- M_1, M_2 — Corpo ou área de predomínio de granito róseo (M_1) e de granito-adamelito cinza (M_2)
- pd_3 — Biotita-gnaisse porfiroblástico e, subordinadamente, biotita-hornblenda-gnaisse porfiroblástico, róseos e cinzas. Corpos de granito róseo e cinza abundantes.
- Sd — Sienito gnáissico Poço de Fora-Itiúba

ROCHAS GRANITÓIDES E METASSOMATITOS

- qf — Níveis de quartzito ferrífero intercalados na Sequência Tanque Novo e raramente na Sequência Rio Curaçá
- cs_1, cs_2 — Níveis de rocha calco-silicatada (cs_1) - incluindo diopsidito (cs_2) - intercalados na Sequência Tanque Novo e, raramente, na Sequência Rio Curaçá.
- a_1, a_2 — a_1 - corpos de anfibolito, a_2 - corpos constituídos de anfibolito e, subordinadamente rocha calco-silicatada, diorito e gabro, encaixados nas Sequências Tanque Novo e Rio Curaçá.
- gd — Corpos constituídos de gabro e diorito e, subordinadamente, anfibolito, norito e piroxenito, encaixados nas Sequências Rio Curaçá e Tanque Novo
- pn — Corpos constituídos de piroxenito e norito, e, subordinadamente, anfibolito, diorito, gabro e serpentinito, encaixados na Sequência Rio Curaçá

ROCHAS MÁFICAS-ULTRAMÁFICAS

SEQUÊNCIA TANQUE NOVO

- TNbd — UNIDADE BOM DESPACHO - Biotita gnaisse migmatizado e subordinadamente kinzigito, com abundantes intercalações delgadas, nem sempre individualizáveis de rocha calco-silicatada (cs_2) - incluindo diopsidito (cs_2), quartzito gnaissificado (q) que passa a quartzo-feldspato-gnaisse, anfibolito-(a_1,a_2) e quartzito ferrífero (qf). Engloba corpos de gabro-diorito (gd)

SEQUÊNCIA RIO CURAÇÁ

- RCca — UNIDADE CACHOEIRA - Migmatito listrado a biotita e, subordinadamente, a hornblenda e biotita, com intercalações de anfibolito.
- RCar — UNIDADE ARAPUÁ - Biotita gnaisse parcialmente migmatizado, com abundantes intercalações delgadas nem sempre individualizáveis de anfibolito (a_1), passando lateral e verticalmente a quartzo-feldspato-gnaisse.
- RCma — UNIDADE MARI - Biotita-gnaisse-migmatito e subordinadamente biotita-hornblenda-gnaisse migmatito de estrutura "schlieric" e listrado, com intercalações delgadas de anfibolito. Engloba corpos de gabro-diorito (gd), piroxenito-norito (pn), anfibolito (a_1,a_2) e raros níveis de diopsidito (cs_2), quartzito ferrífero (qf) e gondito (g).
- RCsb — UNIDADE SERRA DA BARRIGUDA - Biotita - piroxenito - granulito com lentes de granulito básico. Efeitos de migmatização presentes.
- RCpf — UNIDADE POÇO DE FORA Gnaisses charnoquíticos e granulitos associados, com intercalações delgadas de anfibolito. Efeitos de migmatização conspícuos. Engloba alguns corpos de gabro-diorito (gd).

* O posicionamento, na coluna, das unidades litológicas da Sequência Rio Curaçá e desprovido de conotação estratigráfica.

GRUPO CARAÍBA — PRÉ-CAMBRIANO INFERIOR (?) — QUATERNÁRIO

Contatos Estratigráficos

(1) Aproximado
(2) De transição
(3) Encoberto

Contatos Litológicos

(1) Aproximado
(2) De transição
(3) Encoberto

- Falha definida
- Falha ou fratura provável interrogada quando suposta.
- Falha ou fratura encoberta
- Anticlinal com mergulho axial Tracejado quando provável
- Anticlinal invertido suposto c/mergulho axial.
- Sinclinal com mergulho axial Tracejado quando provável.
- Sinclinal provável
- Sinclinal invertido suposto
- Microdobra com mergulho axial.
- Foliação inclinada
- Foliação inclinada com mergulho indicado.
- Foliação vertical
- Zona de cizalhamento
- Lineamento estrutural observado em aerofotos.

TIPOS GENÉTICOS DAS MINERALIZAÇÕES DE COBRE

- Cu — Singenético; sulfetos de ferro e cobre finamente disseminados em complexo máfico-ultramáfico; teor médio de 0,1% Cu; oxidação superficial fraca ou ausente.
- Cu — Singenético, parcialmente remobilizado; sulfetos de cobre e ferro em complexo norítico-piroxenítico; teor médio de 1,0% Cu; oxidação superficial até 15 ou 30 m de profundidade.
- Cu — Oxidados de cobre em complexo anfibolítico biotitizado, associados com mobilizados hidrotermais.
- Cu — Oxidados de cobre em zonas de falha cortando gnaisse associados com mobilizados pegmatóides-hidrotermais.
- Cu — Ocorrência de oxidados de cobre sem indicações.

TAMANHO DOS DEPÓSITOS DE COBRE

- Cu — > 500.000 t de Cu metálico
- Cu — 100.000 t a 500.000 t de Cu metálico
- Cu — DE 50.000 t a 100.000 t de Cu metálico

NM NV 20°
Declinação magnética

LOCALIZAÇÃO DA FOLHA

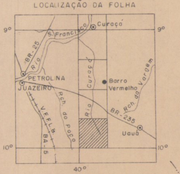

ARTICULAÇÃO DA FOLHA

MAPA PLANIMÉTRICO COMPILADO A PARTIR DE MAPAS ORIGINALMENTE CONFECCIONADOS EM ESCALA 1:25.000 PELA **PROSPEC S.A.**, COM BASE EM FOTOGRAFIAS AÉREAS EM ESCALA 1:25.000, PRODUZIDAS PELA **S.A.C.S** NO PERÍODO DE 1956 A 1957.

GEOLOGIA INTEGRADA A PARTIR DE MAPAS GEOLÓGICOS NA ESCALA 1:25.000.

PROJETO COBRE – CURAÇÁ

ESCALA 1:50.000

10km 0.5 0 1.0 2.0 30 km

1974

CPRM DNPM
AGÊNCIA SALVADOR

MAPA GEOLÓGICO

MAPEAMENTO GEOLÓGICO
João Dalton de Souza
Marinho Alves da Silva Filho

INTEGRAÇÃO E REVISÃO FINAL
João Dalton de Souza
Inácio de Medeiros Delgados

DES: Emanoel V. Macedo
Edvaldo L. Mota

ANEXO I

Aluvião | Zonas granitizadas | Sienito gnáissico | Quartzito ferrífero | Quartzito | Anfibolito | Calco-silicatada | Gabro-Diorito | UNIDADE BOM DESPACHO (Sequência Tanque Novo) | Sequência Rio Curaçá

POÇO DE FORA
SC.24-V-D-V-1

MINISTÉRIO DAS MINAS E ENERGIA
DEPARTAMENTO NACIONAL DA PRODUÇÃO MINERAL

CONVENÇÕES

QUATERNÁRIO

Aluvião (Qa), Talus (Qt).

PRÉ-CAMBRIANO INFERIOR (?) — GRUPO CARAÍBA

Dique de quartzo milonitizado ou cataclasado. (dq)

Dique de diabásio (db_1) e de gabro ofítico grosseiro (db_2).

Milonito, blastomilonito e cataclasito da falha Serrote do Souza (mi)

ROCHAS GRANITÓIDES, METASSOMATITOS DIAFTORITOS ASSOCIADOS

UNIDADE CAPIVARA - Anfibólio-biotita-gnaisse diaftorítico, cataclástico e epidotizado

Granito róseo (γ_1) e granito-adamelito cinza (γ_2)

Biotita-gnaisse porfiroblástico e biotita-hornblenda gnaisse porfiroblástico róseos e cinzas. Corpos de granito róseo e cinza abundantes. ($p\gamma_1$)

Sienito gnáissico Poço de Fora-Itiúba. (sγ)

Níveis de quartzito ferrífero intercalados na Sequência Tanque Novo e raramente na Sequência Rio Curaçá. (qf)

Níveis de rocha calco-silicatada (cs_1) - incluindo diopsidito (cs_2) - intercalados na Sequência Tanque Novo e, raramente na Sequência Rio Curaçá.

ROCHAS MÁFICAS-ULTRAMÁFICAS

a_1 - corpos de anfibolito; a_2 - corpos constituídos de anfibolito e, subordinadamente rocha calco-silicatada, diorito e gabro, encaixados nas Sequências Tanque Novo e Rio Curaçá.

Corpos constituídos de gabro e diorito e, subordinadamente, anfibolito, norito e piroxenito, encaixados nas Sequências Rio Curaçá e Tanque Novo (gd)

Corpos constituídos de piroxenito e norito, e, subordinadamente, anfibolito diorito, gabro e serpentinito, encaixados na Sequência Rio Curaçá. (pn)

Corpos constituídos de serpentinito e piroxenito serpentinizado, e, subordinadamente, anfibolito, diorito, gabro e piroxenito, encaixados nas Sequências Rio Curaçá e Tanque Novo. (sp)

SEQUÊNCIA TANQUE NOVO

UNIDADE BOGÓ - $TNbo_1$: quartzito muito recristalizado frequentemente fuchsítico e as vezes feldspatizado. $TNbo_2$: quartzo feldspato gnaisse, quartzo-feldspato-granada-gnáisse e gnáisse kinzigítico, migmatizados, com intercalações delgadas nem sempre individualizáveis de anfibolito e menos comumente quartzito ferrífero e rocha calco-silicatada.

UNIDADE BANGUÊ - Biotita-hornblenda-gnaisse bandeado, gnaisse félsico e subordinadamente granulitos, migmatizados, com intercalações delgadas nem sempre individualizáveis de anfibolito e menos comumente de rocha calco-silicatada e piroxenito. Engloba alguns corpos de gabro-diorito (gd). (TNbn)

UNIDADE BOM DESPACHO - Biotita-gnaisse migmatizado e subordinadamente kinzigito, com abundantes intercalações delgadas, nem sempre individualizáveis de rocha calco-silicatada(cs_1) - incluindo diopsidito (cs_2) - quartzito gnaissificado que passa a quartzo-feldspato-gnaisse, anfibolito (a_1, a_2) e quartzito ferrífero (qf). Engloba alguns corpos de serpentinito (sp). (TNbd)

* SEQUÊNCIA RIO CURAÇÁ

UNIDADE CACHOEIRA - Migmatito listrado a biotita e subordinadamente, a hornblenda e biotita com intercalações delgadas de anfibolito. (RCca)

UNIDADE ARAPUÁ - Biotita-gnaisse parcialmente migmatizado, com abundantes níveis de anfibolito, passando lateral e verticalmente a quartzo-feldspato-gnaisse. (RCar)

UNIDADE MARI - Biotita-gnaisse-migmatito e subordinadamente biotita-hornblenda-gnaisse-migmatito de estrutura "schlieric" e listrada, com intercalações delgadas de anfibolito. Engloba corpos de gabro-diorito (gd), piroxenito-norito (pn), anfibolito (a_1, a_2) e raros níveis de quartzito ferrífero (qf). (RCma)

UNIDADE POÇO DE FORA - Gnaisses charnoquíticos e granulitos associados com intercalações delgadas de anfibolito e efeitos de migmatização conspícuos. Engloba corpos de gabro-diorito (gd), piroxenito-norito (pn) e serpentinito (sp) e raros níveis de rocha calco-silicatada (cs_1) e quartzito ferrífero (qf). (RCpf)

* O posicionamento, na coluna, das unidades litológicas da Sequência Rio Curaçá é desprovido de conotação estratigráfica.

Contatos Estratigráficos

(1) Aproximado
(2) De transição
(3) Suposto
(4) Encoberto

Contatos Litológicos

(1) Aproximado
(2) De transição
(3) Encoberto

Falha definida
Falha definida c/ mergulho indicado.
Falha normal com indicação do movimento relativo dos blocos.
Falha ou fratura provável Interrogada quando suposta.
Falha ou fratura encoberta
Fratura menor inclinada
Fratura menor vertical
Eixo de anticlinório
Eixo de braquianticlinal
Anticlinal com mergulho axial. Tracejado quando provável.
Anticlinal invertido provável c/ mergulho axial. Interrogado quando suposto
Anticlinal invertido provável. Interrogado quando suposto.
Sinclinal com mergulho axial. Tracejado quando provável.
Sinclinal provável
Sinclinal invertido provável c/ mergulho axial.
Sinclinal invertido provável. Interrogado quando suposto.
Microdobra com mergulho axial.
Orientação e caimento de estrias (slickensides)
Acamamento inclinado
Acamamento vertical
Foliação inclinada
Foliação vertical
Zona de cizalhamento c/ mergulho indicado.
Lineamento estrutural observado em aerofotos.

TIPOS GENÉTICOS DAS MINERALIZAÇÕES DE COBRE

Cu — Singenético; sulfetos de ferro e cobre finamente disseminados em complexo máfico-ultramáfico; teor médio de 0,1% Cu; oxidação superficial fraca ou ausente.

Cu — Singenético, parcialmente remobilizado; sulfetos de cobre e ferro em complexo norítico-piroxenítico; teor médio de 1,0% Cu; oxidação superficial a ate 15 ou 30 m de profundidade.

Cu — Oxidados de cobre em complexo anfibolítico biotitizado associados com mobilizados hidrotermais.

Cu — Oxidados de cobre em zonas de falha cortando complexo ultramáfico cloritizado e k-feldspatizado associados com mobilizados hidrotermais-pegmatóides.

Cu — Oxidados de cobre em zonas de falha cortando gnaisse associados com mobilizados pegmatóides hidrotermais.

Cu — Ocorrência de oxidados de cobre sem indicações.

TAMANHO DOS DEPÓSITOS DE COBRE

De 100.000t a 500.000t de Cu metálico

De 10.000t a 50.000t de Cu metálico

MAPA PLANIMÉTRICO COMPILADO A PARTIR DE MAPAS ORIGINALMENTE CONFECCIONADOS EM ESCALA 1:25.000 PELA PROSPEC S.A., COM BASE EM FOTOGRAFIAS AÉREAS EM ESCALA 1:25.000, PRODUZIDAS PELA S.A.C.S. NO PERÍODO DE 1956 A 1957.

LOCALIZAÇÃO DA FOLHA

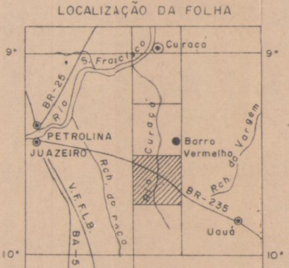

PROJETO COBRE - CURAÇÁ

ESCALA 1:50.000

1.0 km 0.5 0 1.0 2.0 3.0 km

1974

ARTICULAÇÃO DA FOLHA

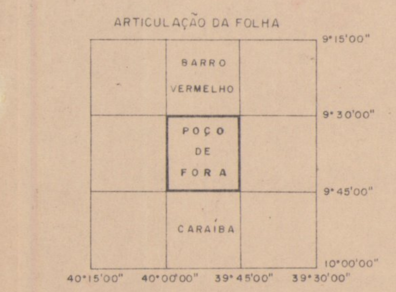

GEOLOGIA INTEGRADA A PARTIR DE MAPAS GEOLÓGICOS NA ESCALA 1:25.000

Declinação magnética

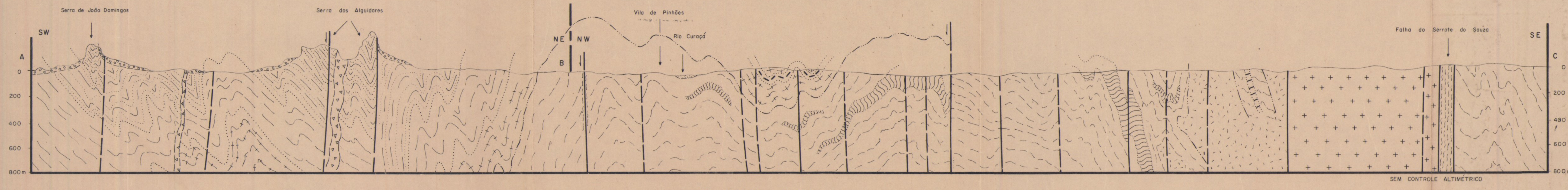

ESCALA HORIZONTAL — 1:50.000
ESCALA VERTICAL 1:20.000 (Aproximada)

Talus (colúvio)
Aluvião
Diabásio ou gabro ofítico grosseiro
Zonas granitizadas
Sienito gnáissico
Calco-silicatada
Quartzito-ferrífero
Gabro-dioríticos
UNIDADE BOGÓ (Seq. Tanque Novo)
UNIDADE BANGUÊ (Seq. Tanque Novo)
UNIDADE BOM DESPACHO (Seq. Tanque Novo)
Sequência Rio Curaçá

CPRM DNPM
AGÊNCIA SALVADOR

MAPA GEOLÓGICO

MAPEAMENTO GEOLÓGICO
Eduardo A. Ladeira
Helmut Brockes Junior

INTEGRAÇÃO E REVISÃO FINAL
Inácio de Medeiros Delgado
João Dalton de Souza
Marinho A. da Silva Filho

ANEXO II

DES: Emanoel V. Macedo
Edvaldo L. Mota

BARRO VERMELHO
SC.24-V-D-II-3

MINISTÉRIO DAS MINAS E ENERGIA
DEPARTAMENTO NACIONAL DA PRODUÇÃO MINERAL

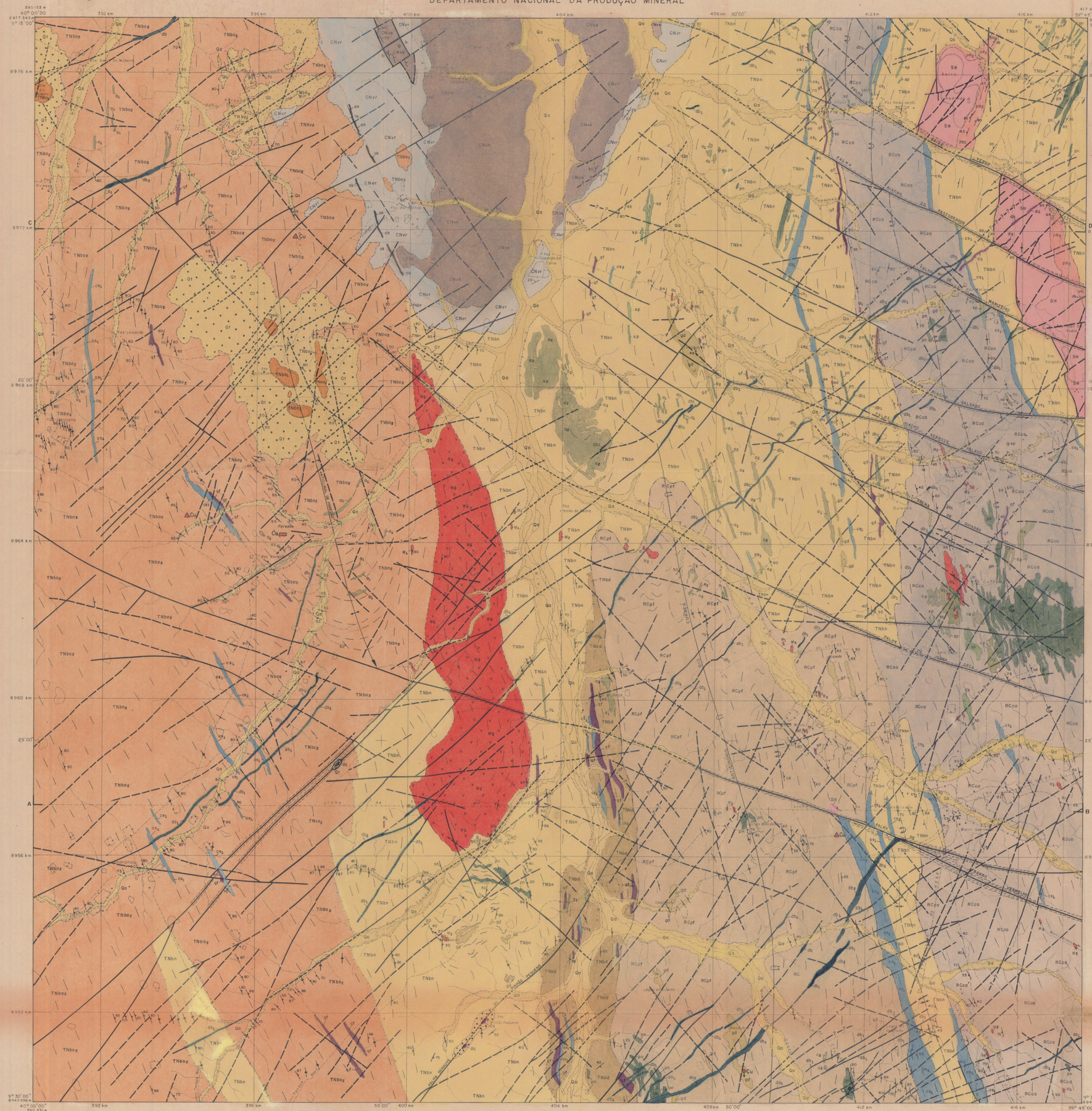

CONVENÇÕES

- Aluvião (Qa); Talus (Qt) e Cobertura areno-argilosa calcífera ou argilo-arenosa calcífera (Qc)
- UNIDADE VENEZA – Quarto-feldspato-micaxisto com variações para calcoxisto
- UNIDADE VERMELHOS – Calcário metamórfico geralmente listrado, com intercalações de meta-arcósio (ax) e variações para calcoxisto.
- Dique de quartzo milonitizado ou cataclasado
- Dique básico (db): diabásio (db_1) e gabro ofítico grosseiro (db_2)
- Granito gnáissico grosseiro a hornblenda e biotita.
- Granito róseo (υ_1), granito-adamelito cinza (υ_2) e granito róseo grosseiro (υ_3)
- Anfibolio-olftalmito e biotita-augen-gnaisse muito grosseiro e de cor cinza.
- Sienito, gnáissico.
- Níveis de quartzito ferrífero intercalados na Sequência Tanque Novo e raramente na Sequência Rio Curaçá.
- Níveis de rocha calco-silicatada (cs_1) - incluindo diopsidito (cs_2), encaixados na Sequência Tanque Novo e raramente na Sequência Rio Curaçá.
- a_1 - corpos constituídos de anfibolito; a_2 - corpos constituídos de anfibolito e, subordinadamente, rocha calco-silicatada, diorito, gabro e piroxenito, encaixados nas Sequências Rio Curaçá e Tanque Novo.
- Corpos constituídos de gabro e diorito e, subordinadamente anfibolito, norito e piroxenito, encaixados nas Sequências Rio Curaçá e Tanque Novo.
- Corpos constituídos de piroxenito e norito e, subordinadamente, anfibolito, gabro, diorito e serpentinito, encaixados nas Sequências Rio Curaçá e Tanque Novo.
- Corpos constituídos de serpentinito e piroxenito serpentinizado, e subordinadamente anfibolito, diorito, gabro e piroxenito encaixados nas Sequências Rio Curaçá e Tanque Novo.
- UNIDADE BOGÓ $TNbq_1$: quartzito muito recristalizado frequentemente fuchsítico, às vêzes, feldspatizado; e $TNbq_2$: quartzo - feldspato-gnaisse, quartzo-feldspato-granada-gnaisse e gnaisse kinzigítico, parcialmente migmatizados, com intercalações delgadas nem sempre individualizáveis de anfibolito (a_1, a_2) e menos comumente quartzito ferrífero (qf) e rocha calco-silicatada (cs_1).
- UNIDADE BANGUÊ - Biotita-hornblenda-gnaisse bandeado, gnaisse feísico e subordinadamente granulitos, migmatizados, com intercalações delgadas nem sempre individualizáveis de anfibolito e menos comumente rocha calco-silicatada e piroxenito. Engloba corpos de anfibolito (a_1, a_2), gabro-diorito (gd), piroxenito-norito (pn), serpentinito (sp) e menos comumente de rocha calco-silicatada (cs_1, cs_2) e quartzito ferrífero (qf).
- UNIDADE BOM DESPACHO - Biotita-gnaisse migmatizado e, subordinadamente kinzigito, com abundantes intercalações delgadas, nem sempre individualizáveis, de rocha calco-silicatada (cs_1) - incluindo diopsidito (cs_2), quartzito gnaissificado que passa a quartzo feldspato gnaisse, anfibolito (a_1, a_2) e quartzito ferrífero (qf). Engloba corpos de piroxenito-norito (pn)
- UNIDADE CACHOEIRA - Migmatito listrado a biotita e, subordinadamente, a hornblenda e biotita, com intercalações de anfibolito. Engloba corpos de anfibolito (a_1, a_2), gabro-diorito (gd), piroxenito-norito (pn) e serpentinito (sp) e raros níveis de rocha calco-silicatada(cs_1) e quartzito ferrífero (qf).
- UNIDADE POÇO DE FORA - Gnaisses charnoquíticos e granulitos associados com intercalações delgadas de anfibolito. Efeitos de migmatização conspícuos. Engloba corpos de anfibolito (a_1, a_2), gabro-diorito (gd), piroxenito-norito (pn) e raros níveis de quartzito ferrífero (qf).

* O posicionamento, na coluna, das unidades litológicas da Sequência Rio Curaçá é desprovido de conotação estratigráfica.

PRÉ-CAMBRIANO INFERIOR(?) — GRUPO CARAÍBA — SEQUÊNCIA RIO CURAÇÁ* — SEQUÊNCIA TANQUE NOVO — ROCHAS MÁFICAS-ULTRAMÁFICAS — ROCHAS GRANITÓIDES E METASSOMATITOS ASSOCIADOS

EO - CAMBRIANO QUATERNÁRIO — GRUPO CANUDOS

Contatos Estratigráficos

(1) Aproximado
(2) De transição
(3) Suposto
(4) Encoberto

Contatos Litológicos

(1) Aproximado
(2) De transição
(3) Encoberto

- Falha definida
- Falha ou fratura encoberta
- Anticlinal invertido provável
- Miradobra com mergulho axial
- Foliação vertical
- Falha de rasgamento
- Eixo de anticlinório invertido
- Sinclinal provável
- Acamamento inclinado
- Foliação inclinada com mergulho indicado
- Falha normal com indicação do movimento relativo dos blocos (A/B)
- Anticlinal com mergulho axial
- Sinclinal invertido suposto
- Acamamento inclinado c/ mergulho indicado
- Zona de cizalhamento
- Falha ou fratura provável interrogada quando suposta
- Anticlinal invertido suposto com mergulho axial
- Sinclinal invertido provável com mergulho axial
- Foliação inclinada
- Lineamento estrutural observado em aerofotos

TIPOS GENÉTICOS DAS MINERALIZAÇÕES DE COBRE

- Cu — Singenéticos; sulfetos de ferro e cobre finamente disseminados em complexo máfico-ultramáfico; teor médio de 0,1% Cu; oxidação superficial fraca ou ausente.
- Cu — Oxidados de cobre em complexo anfibolítico biotitizado, associados com mobilizados hidrotermais
- Cu — Oxidados de cobre em zonas de falha cortando gnaisses, associados com mobilizados pegmatóides hidrotermais.
- Cu — Ocorrência de oxidados de cobre sem indicações

NM NV 20°

Declinação magnética

MAPA PLANIMÉTRICO COMPILADO A PARTIR DE MAPAS ORIGINALMENTE CONFECCIONADOS EM ESCALA 1:25.000 PELA PROSPEC S.A., COM BASE EM FOTOGRAFIAS AÉREAS EM ESCALA 1:25.000, PRODUZIDAS PELA S.A.C.S. NO PERÍODO DE 1956 A 1957.

LOCALIZAÇÃO DA FOLHA

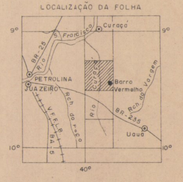

PROJETO COBRE – CURAÇÁ

ESCALA 1:50.000

1.0km 0.5 0 1.0 2.0 3.0km

1974

ARTICULAÇÃO DA FOLHA

GEOLOGIA INTEGRADA A PARTIR DE MAPAS GEOLÓGICOS NA ESCALA 1:25.000.

ESCALA HORIZONTAL – 1:50.000
ESCALA VERTICAL – 1:20.000 (Aproximada)

SEM CONTROLE ALTIMÉTRICO

- Aluvião
- Sienito gnáissico
- Zona granitizada
- Diabásio
- Calco-silicatada
- Quartzito ferrífero
- Anfibolito
- Piroxenito-norito
- Serpentinito-piroxenito serpentinizado
- UNIDADE BOGÓ (Seq. Tanque Novo)
- UNIDADE BANGUÊ (Seq. Tanque Novo)
- UNIDADE BOM DESPACHO (Seq. Tanqu Novo)
- Sequência Rio Curaçá

CPRM DNPM
AGÊNCIA SALVADOR

MAPA GEOLÓGICO

MAPEAMENTO GEOLÓGICO
João Dalton de Souza
Edison Pinto Figueira

INTEGRAÇÃO E REVISÃO FINAL
João Dalton de Souza
Inácio de Medeiros Delgado

DES. Emanoel V. Macedo
Edvaldo L. Motc

ANEXO III

CURAÇÁ
SC 24-V-D-II-1

MINISTÉRIO DAS MINAS E ENERGIA
DEPARTAMENTO NACIONAL DA PRODUÇÃO MINERAL

CONVENÇÕES

- Aluvião (Qa); Talus (Qt); Eluvio arenoso grosseiro com seixos de quartzo (Qe); e Cobertura arno-argilosa calcífera ou areno-arenosa calcífera (Qc)
- Dique de quartzo
- UNIDADE VENEZA - Quartzo-feldspato-micaxisto e subordinadamente granada-micaxisto com alguns níveis de quartzito e variações para calcoxisto.
- UNIDADE VERMELHOS - Calcário metamórfico geralmente listrado, com níveis de meta-arcósio (ax) e variações para calcoxisto.
- Dique de quartzo milonitizado ou cataclasado
- Dique básico (db): diabásio (db_1) e gabro ofítico grosseiro (db_2).
- Dique de granito porfiroclástico.
- Granito róseo (π_1) e granito-adamelito cinza (π_2).
- Níveis de quartzito ferrífero intercalados na Sequência Tanque Novo.
- Níveis de rocha calco-silicatada (cs_1) - incluindo diopsidito, intercalados na Sequência Tanque Novo e raramente na Sequência Rio Curaçá.
- α_1 - corpos de anfibolito; α_2 - corpos constituídos de anfibolito e, subordinadamente rocha calco-silicatada, diorito, gabro e piroxenito, encaixados na Sequência Tanque Novo.
- Corpos constituídos de piroxenito e norito, e, subordinadamente, anfibolito, diorito, gabro e serpentinito, encaixados na Sequência Tanque Novo.
- Corpos constituídos de serpentinito e piroxenito serpentinizado e subordinadamente anfibolito, diorito, gabro e piroxenito, encaixados na Sequência Tanque Novo.
- UNIDADE PEDREIRAS - Migmatito "stromatic" a biotita e hornblenda e migmatito "manchado" a biotita e granada.
- UNIDADE BOGÓ - Quartzo-feldspato-gnaisse e quartzo-feldspato-granada-gnaisse com intercalações delgadas nem sempre individualizáveis de anfibolito (α_1) e menos comumente rocha calco-silicatada (cs_1) e quartzito ferrífero (qf).
- UNIDADE BANGUÊ - Biotita-hornblenda-gnaisse bandeado, gnaisse félsico e subordinadamente granulitos, migmatizados, com intercalações delgadas nem sempre individualizáveis de anfibolito e menos comumente de rocha calco-silicatada e piroxenito. Englaba corpos de anfibolito (α_2), gabro-diorito (gd), piroxenito-norito (pn), serpentinito (sp) e menos comumente de rocha calco-silicatada (cs) e quartzito ferrífero (qf)
- UNIDADE CACHOEIRA - Migmatito listrado a biotita e, subordinadamente, a hornblenda e biotita, com intercalações de anfibolito.

* O posicionamento, na coluna, das unidades litológicas da Sequência Rio Curaçá é desprovido de conotação estratigráfica.

QUATERNÁRIO
EO - CAMBRIANO
GRUPO CANUDOS
PRÉ - CAMBRIANO INFERIOR (?)
GRUPO CARAÍBA
ROCHAS GRANITÓIDES
ROCHAS MÁFICAS-ULTRAMÁFICAS
SEQUÊNCIA TANQUE NOVO
SEQUÊNCIA RIO CURAÇÁ *

Contatos Estratigráficos

(1) Definido
(2) Aproximado
(3) Suposto
(4) Encoberto

Contatos Litológicos

(1) Aproximado
(2) De transição
(3) Encoberto

- Falha definida
- Falha normal com indicação do movimento relativo dos blocos
- Falha ou fratura provável
- Falha ou fratura encoberta
- Fratura menor inclinada
- Fratura menor vertical
- Fratura menor inclinada c/ indicação do mergulho
- Anticlinal provável com mergulho axial
- Anticlinal invertida provável com mergulho axial
- Anticlinal invertido provável, interrogado quando suposto
- Sinclinal provável com mergulho axial
- Sinclinal invertido suposto
- Acamamento inclinado
- Acamamento inclinado c/ mergulho indicado
- Acamamento horizontal
- Acamamento vertical
- Foliação inclinada
- Foliação inclinada com mergulho indicado
- Foliação vertical
- Zona de cizalhamento
- Lineamento estrutural observado em aerofotos

Declinação magnética

MAPA PLANIMÉTRICO COMPILADO A PARTIR DE MAPAS ORIGINALMENTE CONFECCIONADOS EM ESCALA 1:25.000 PELA PROSPEC S.A., COM BASE EM FOTOGRAFIAS AÉREAS EM ESCALA 1:25.000, PRODUZIDAS PELA SAGS NO PERÍODO DE 1956 A 1957

LOCALIZAÇÃO DA FOLHA

ARTICULAÇÃO DA FOLHA

GEOLOGIA INTEGRADA A PARTIR DE MAPAS GEOLÓGICOS NA ESCALA 1:25.000.

PROJETO COBRE - CURAÇÁ

ESCALA 1:50.000

1974

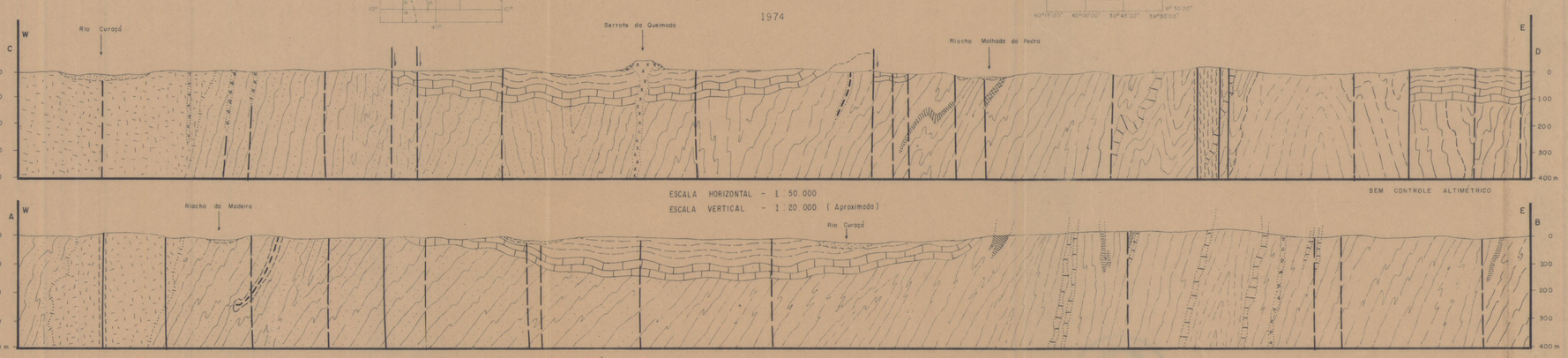

ESCALA HORIZONTAL - 1:50 000
ESCALA VERTICAL - 1:20 000 (Aproximada)

Aluvião
Colúvio, Eluvio
Dique de quartzo
Zona granitizada
Diabásio ou gabro ofítico grosseiro
Calco-silicatada
Quartzito ferrífero
Anfibolito
Piroxenito - norito
Serpentinito - piroxenito serpentinizado
UNIDADE VENEZA (Grupo Canudos)
UNIDADE VERMELHOS (Grupo Canudos)
UNIDADE BOGÓ (Seq. Tanque Novo)
UNIDADE BANGUÊ (Seq. Tanque Novo)
Sequência - Rio Curaçá

CPRM DNPM
AGÊNCIA SALVADOR

MAPA GEOLÓGICO

MAPEAMENTO GEOLÓGICO
Luiz Francisco P Fragomeni

INTEGRAÇÃO E REVISÃO FINAL
Inácio de Medeiros Delgado
João Dalton de Souza

ANEXO IV

DES. Emanoel V. Macedo
Edvaldo L. Mota

CARAÍBA

SC. 24-V-D-V-3

MINISTÉRIO DAS MINAS E ENERGIA

DEPARTAMENTO NACIONAL DA PRODUÇÃO MINERAL

390 312m 40°00'00" 8 922 054m 9°45'00"

392km 396km 55'00" 400km 404km 408km 50'00" 412km 416km

417 736m 39°45'00" 8 922 125m 9°45'00"

8 920km 8 916km 50'00" 8 912km 8 908km 8 904km 55'00" 8 900km 8 896km

10°00'00" 8 894 409m 40°00'00" 390 398m 392km 396km 55'00" 400km 404km 408km 50'00" 412km 416km 39°45'00" 417 798m 10°00'00" 8 894 482m

S-1 S-2 S-3 S-5 S-6 S-7 S-8 S-9 S-10 S-12 S-15 S-18 S-22 S-23 S-29 S-30 S-31 S-33

CARAÍBA

SERRA DA BARRIGUDA

SERRA DA SUÇUARANA

Arapua Velho · Cocho · Arapua Novo · Faz. Cota · Macambira · La dos Fotos · Flores · Pilar · Barrinha · Terra Nova · Antonio Carije · Ste do Braço · Monte Alegre · Bom Despacho · Mina de Bom Desbocho · Baixinha · Santa Maria · Lajinha · Ste do Muquem · Morro Caraibal (ENE) · Caraiba · Faz. Sta Fé · Faz Barra do Teodoro · Faz Riachuelo · Faz Baqueirão · Vargem do Macaco · Sítio do Bepoeiro · Amarinha · Santos Area · Quiabo · Suçuarana · Sítio Boca da Cova · Ferradura · Sítio Bela Vista · La da Raposa · La Ranita · Zanzibar · Poço da Coca · Cachoeira · Vargem d'Água

LOCALIZAÇÃO DA FOLHA

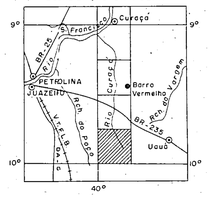

PROJETO COBRE – CURAÇÁ

REPRESENTAÇÃO GRÁFICA DOS VALORES DE COBRE SOLÚVEL DOSADOS EM AMOSTRAS DE SEDIMENTOS DE CORRENTE, COLETADAS NOS RIACHOS DA FOLHA DE CARAÍBA

ESCALA 1: 50.000

1.0km 0.5 0 1.0 2.0 3.0 km

1974

MAPA PLANIMÉTRICO COMPILADO A PARTIR DE MAPAS ORIGINALMENTE CONFECCIONADOS EM ESCALA 1:25.000 PELA **PROSPEC S.A.**, COM BASE EM FOTOGRAFIAS AÉREAS EM ESCALA 1:25.000, PRODUZIDAS PELA S.A.C.S NO PERÍODO DE 1956 A 1957.

ARTICULAÇÃO DA FOLHA

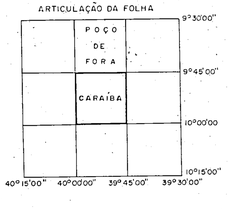

0 5 7,5 10 12,5 15 >30 Cu SOLÚVEL

PONTO DE AMOSTRAGEM GEOQUÍMICA

① S-5

DELIMITAÇÃO DA ÁREA ANÔMALA E GRAU DA ANOMALIA E NÚMERO DO ALVO CORRESPONDENTE.

Autor: Geol. Inácio M. Delgado

ANEXO V

POÇO DE FORA
SC.24-V-D-V-1

MINISTÉRIO DAS MINAS E ENERGIA
DEPARTAMENTO NACIONAL DA PRODUÇÃO MINERAL

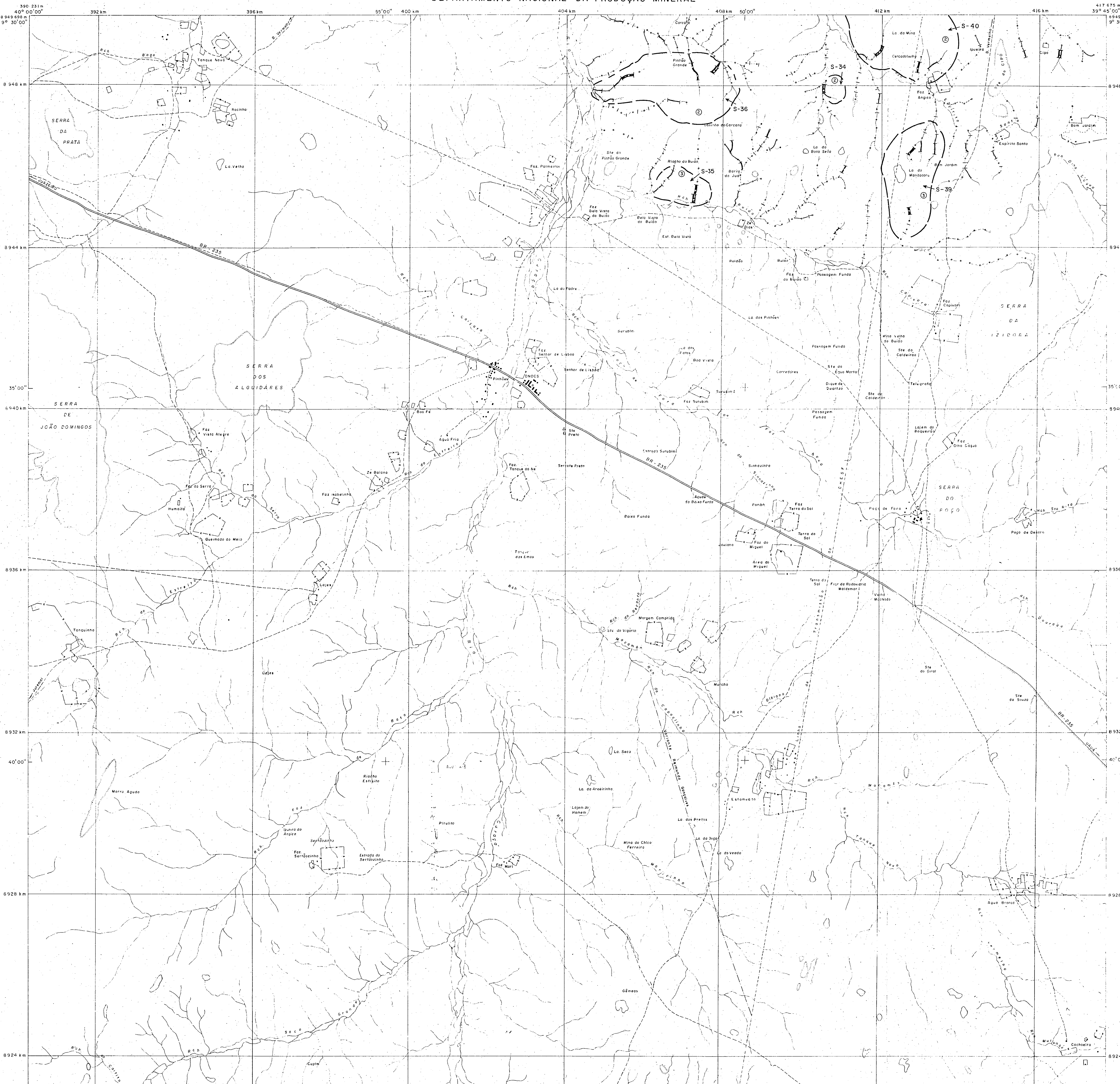

MAPA PLANIMÉTRICO COMPILADO A PARTIR DE MAPAS ORIGINALMENTE CONFECCIONADOS EM ESCALA 1:25.000 PELA PROSPEC S.A., COM BASE EM FOTOGRAFIAS AÉREAS EM ESCALA 1:25.000, PRODUZIDAS PELA S.A.C.S. NO PERÍODO DE 1956 A 1957.

LOCALIZAÇÃO DA FOLHA

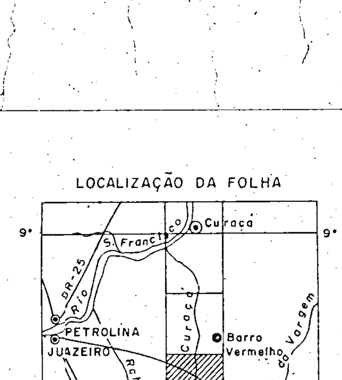

PROJETO COBRE – CURAÇÁ

REPRESENTAÇÃO GRÁFICA DOS VALORES DE COBRE SOLÚVEL DOSADOS EM AMOSTRAS DE SEDIMENTOS DE CORRENTE, COLETADAS NOS RIACHOS DA FOLHA DE POÇO DE FORA

ESCALA 1:50.000

1.0km 0.5 0 1.0 2.0 3.0km

1974

ARTICULAÇÃO DA FOLHA

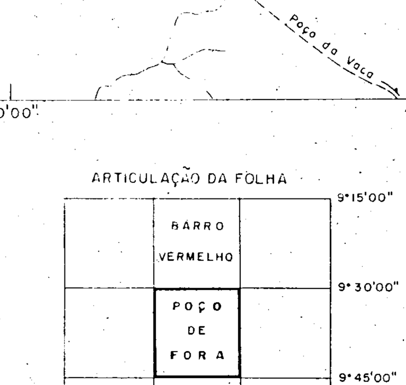

0 5 7,5 10 12,5 15 >30 CU SOLÚVEL

o PONTO DE AMOSTRAGEM GEOQUÍMICA

(2) S-40 DELIMITAÇÃO DA ÁREA ANÔMALA E GRAU DA ANOMALIA E NÚMERO DO ALVO CORRESPONDENTE.

Autor: Geol. Inácio M. Delgado

ANEXO VI

BARRO VERMELHO

SC. 24-V-D-II-3

MINISTÉRIO DAS MINAS E ENERGIA

DEPARTAMENTO NACIONAL DA PRODUÇÃO MINERAL

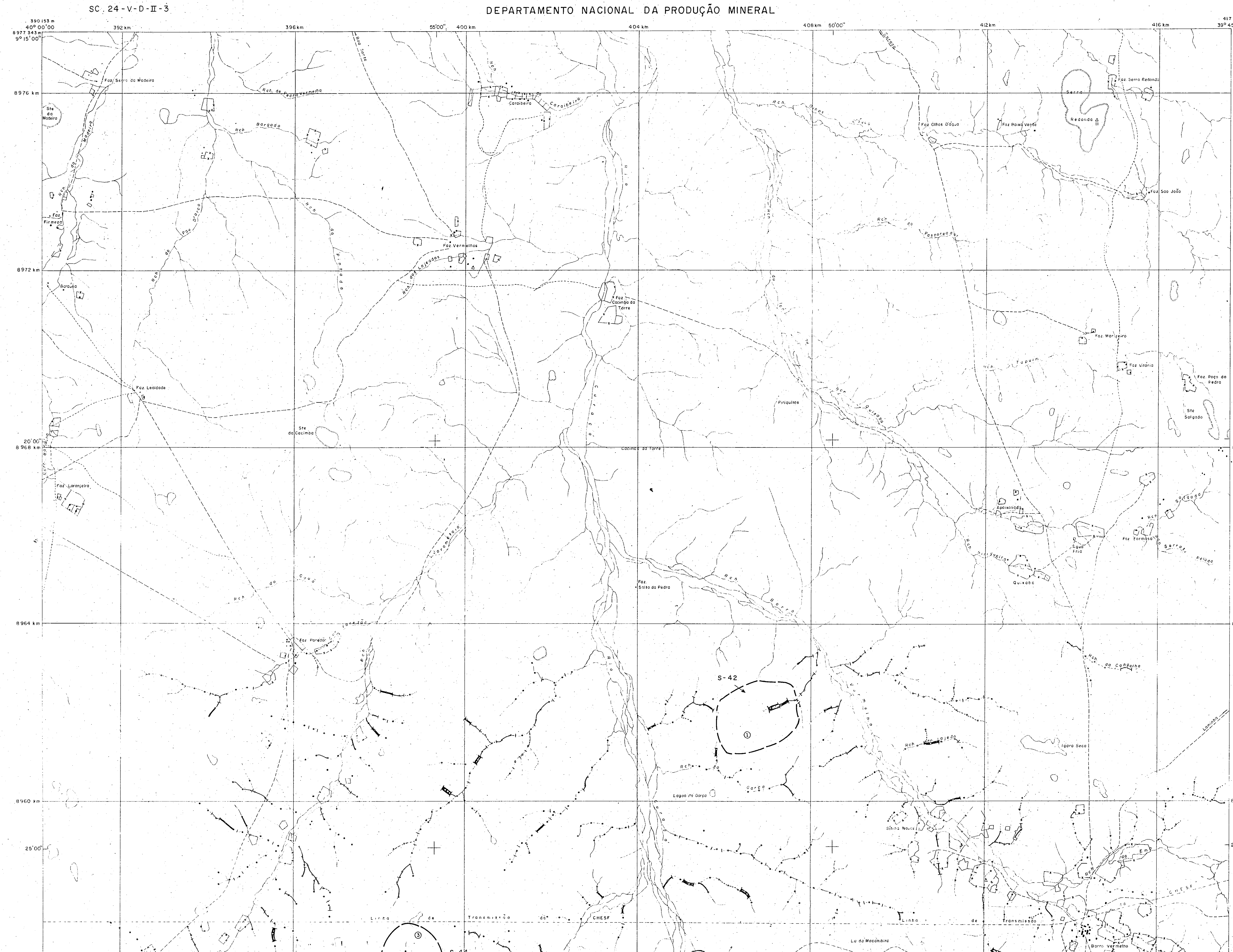

MAPA PLANIMÉTRICO COMPILADO A PARTIR DE MAPAS ORIGINALMENTE CONFECCIONADOS EM ESCALA 1:25.000 PELA PROSPEC S.A., COM BASE EM FOTOGRAFIAS AÉREAS EM ESCALA 1:25.000, PRODUZIDAS PELA S.A.C.S. NO PERÍODO DE 1956 A 1957.

LOCALIZAÇÃO DA FOLHA

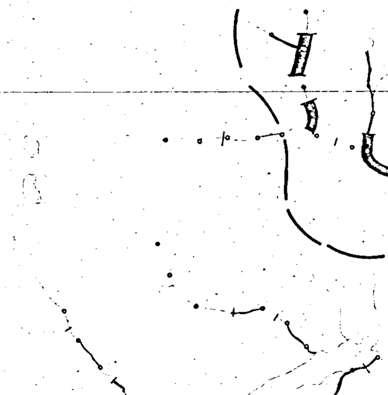

PROJETO COBRE – CURAÇÁ

REPRESENTAÇÃO GRÁFICA DOS VALORES DE COBRE SOLÚVEL DOSADOS EM AMOSTRAS DE SEDIMENTOS DE CORRENTE, COLETADAS NOS RIACHOS DA FOLHA DE BARRO VERMELHO

ESCALA 1:50.000

1.0km 0.5 0 1.0 2.0 3.0km

1974

ARTICULAÇÃO DA FOLHA

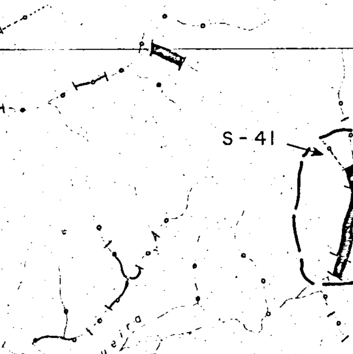

0 5 7,5 10 12,5 15 >30 CU SOLÚVEL

PONTO DE AMOSTRAGEM GEOQUÍMICA

③ S-42

DELIMITAÇÃO DA ÁREA ANÔMALA E GRAU DA ANOMALIA E NÚMERO DO ALVO CORRESPONDENTE.

Autor: Geol. Inácio M. Delgado

ANEXO VII

CARAÍBA

SC. 24-V-D-V-3

MINISTÉRIO DAS MINAS E ENERGIA

DEPARTAMENTO NACIONAL DA PRODUÇÃO MINERAL

MAPA PLANIMÉTRICO COMPILADO A PARTIR DE MAPAS ORIGINALMENTE CONFECCIONADOS EM ESCALA 1:25.000 PELA **PROSPEC S.A.**, COM BASE EM FOTOGRAFIAS AÉREAS EM ESCALA 1:25.000, PRODUZIDAS PELA S.A.C.S. NO PERÍODO DE 1956 A 1957.

LOCALIZAÇÃO DA FOLHA

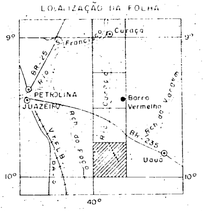

PROJETO COBRE – CURAÇÁ

MAPA DE LOCALIZAÇÃO DAS ÁREAS PROSPECTADAS EM DETALHE (ALVOS "S" e "L")

ESCALA 1:50.000

10km 0 1.0 2.0 30 km

1974

ARTICULAÇÃO DA FOLHA

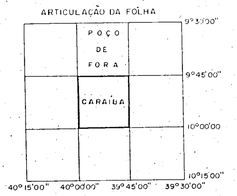

SITUAÇÃO DO ALVO COM INDICAÇÃO DO REFERENCIAL E LINHA EIXO

ALVO RECOMENDADO PARA CONTINUAÇÃO DA PESQUISA

ANEXO VIII

DES.: Edvaldo L. Mota 7-07-75

POÇO DE FORA
SC.24-V-D-V-1

MINISTÉRIO DAS MINAS E ENERGIA
DEPARTAMENTO NACIONAL DA PRODUÇÃO MINERAL

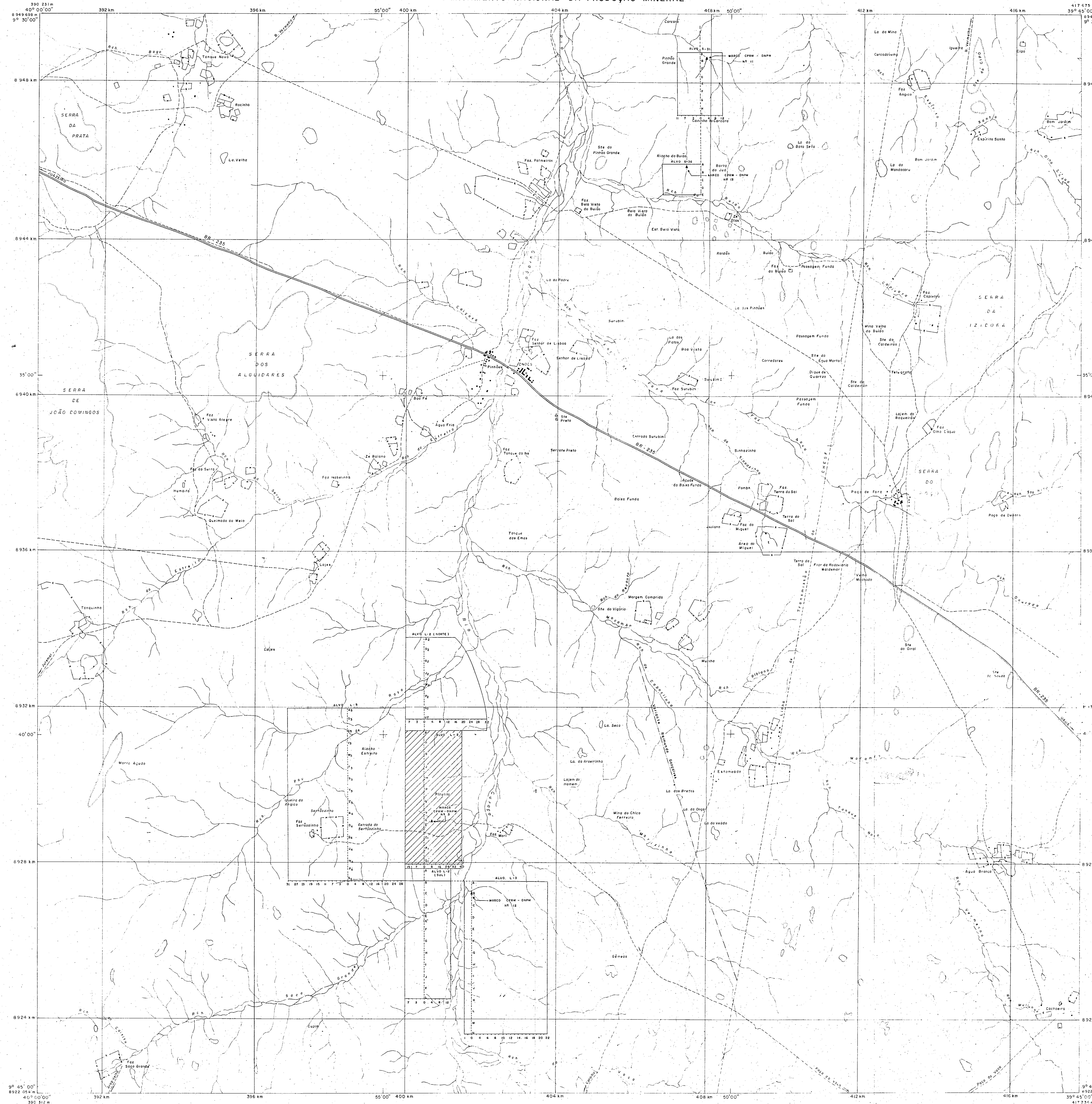

MAPA PLANIMÉTRICO COMPILADO A PARTIR DE MAPAS ORIGINALMENTE CONFECCIONADOS, EM ESCALA 1:25.000 PELA PROSPEC S.A., COM BASE EM FOTOGRAFIAS AÉREAS EM ESCALA 1:25.000, PRODUZIDAS PELA S.A.C.S. NO PERÍODO DE 1956 A 1957.

LOCALIZAÇÃO DA FOLHA

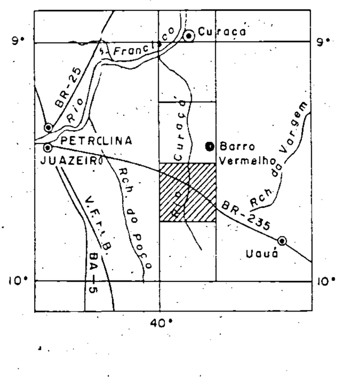

PROJETO COBRE – CURAÇÁ

MAPA DE LOCALIZAÇÃO DAS ÁREAS PROSPECTADAS EM DETALHE (ALVOS "S" e "L")

ESCALA 1: 50.000

1.0 km 0.5 0 1.0 2.0 3.0 km

1974

ARTICULAÇÃO DA FOLHA

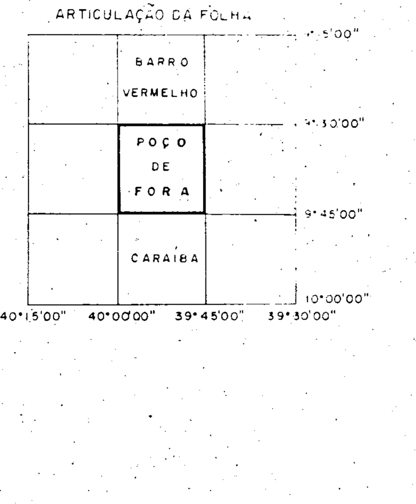

SITUAÇÃO DO ALVO PROSPECTADO COM INDICAÇÃO DO REFERENCIAL

ALVO RECOMENDADO PARA CONTINUAÇÃO DA PESQUISA

ANEXO IX

DES. Emanoel V. Macedo – 7775

BARRO VERMELHO

SC . 24 - V - D - II - 3

MINISTÉRIO DAS MINAS E ENERGIA

DEPARTAMENTO NACIONAL DA PRODUÇÃO MINERAL

390 153 m
40° 00' 00"
8977 343 m
9° 15' 00"

392 km · 396 km · 400 km · 404 km · 408 km 50' 00" · 412 km · 416 km

417 616 m
39° 45' 00"
8977 410 m
9° 15' 00"

8976 km

8972 km

20' 00"
8 968 km

8964 km

8960 km

25' 00"

8956 km

8952 km

9° 30' 00"
8949 698 m
40° 00' 00"
390 231 m

392 km · 396 km · 55' 00" · 400 km · 404 km · 408 km 50' 00" · 416 km

9° 30' 00"
8949 768 m
39° 45' 00"
417 675 m

Faz Serra da Madeira · Ste da Madeira · Rch. de Pedra Vermelha · Rch. Barrado · Rch. do Barro Vermelho · Rch. do Pau d'Arco · Faz Firmeza · Faz Vermelhos · Rch. das Lajedas · Rch. do Pinhão · Baroúna · Faz. Lealdade · Ste da Cacimba · Cacimba da Torre · Faz Cacimba da Torre · Rch. Jaramataia · Faz Laranjeira · Rch. da Cova · Rch. Jaramataia · Faz Parreão · Rch. do Parreão · Jaramataia · Tanque Novo · Tanque Velho · Malhada Grande · Umbuzeiro · Ste Pinhão Pequeno · Pinhão · Caiçarinha · Rio Curaçá · Rch. Tanque Velho · Rch. Caraibeira · Caraibeira · Rch. Olhos D'água · Faz Olhos D'água · Faz Baixa Verde · Serra Redonda · Faz Serra Redonda · Faz São João · Rch. do Pastoredo · Rch. do Icó · Faz Mariseiro · Faz Vitória · Rch. Tapuim · Faz Poço da Pedra · Ste Salgado · Piriquitos · Rch. Quixaba · Epaisongada · Rch. Sirigueira · Quixaba · Lagoa Fria · Faz Formosa · Rch. Serra Pelada · Faz Salto da Pedra · Rch. Garça · Rch. da Cangalha · Rch. do Lajedo · Igara Seca · Lamunha · Lagoa da Garça · Sítios Novos · Rch. do Engenho · Rch. do Cipó · Linha de Transmissão do CHESF · Lagoa da Macambira · Barra Vermelha · Rch. Tapuio · Rch. Ipueira · Morro Branco · Lagoa do Jurema · Rch. Espírito Santo · Mandubim · Lagoa do Dourado · Rch. do Cipó · Rch. do Cedro · Igueira

ALVO S - 42

MARCO CPRM - ONPM Nº 4

ALVO S - 41

MARCO CPRM - ONPM Nº 22

ALVO S - 40

MARCO CPRM - ONPM Nº 5

MAPA PLANIMÉTRICO COMPILADO A PARTIR DE MAPAS ORIGINALMENTE CONFECCIONADOS EM ESCALA 1: 25.000 PELA PROSPEC S.A., COM BASE EM FOTOGRAFIAS AÉREAS EM ESCALA 1: 25.000, PRODUZIDAS PELA S.A.C.S. NO PERÍODO DE 1956 A 1957.

LOCALIZAÇÃO DA FOLHA

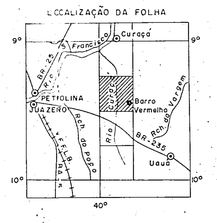

PROJETO COBRE — CURAÇÁ

MAPA DE LOCALIZAÇÃO DAS ÁREAS PROSPECTADAS EM DETALHE (ALVOS "S" e "L")

ESCALA 1: 50.000

1.0km 0.5 0 1.0 2.0 3.0km

1974

ARTICULAÇÃO DA FOLHA

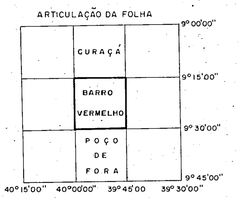

SITUAÇÃO DO ALVO PROSPECTADO COM INDICAÇÃO DO REFERENCIAL

ALVO RECOMENDADO PARA CONTINUAÇÃO DA PESQUISA.

ANEXO X

DES. Emanoel V. Macedo - 7775

MINISTÉRIO DAS MINAS E ENERGIA

DEPARTAMENTO NACIONAL DA PRODUÇÃO MINERAL

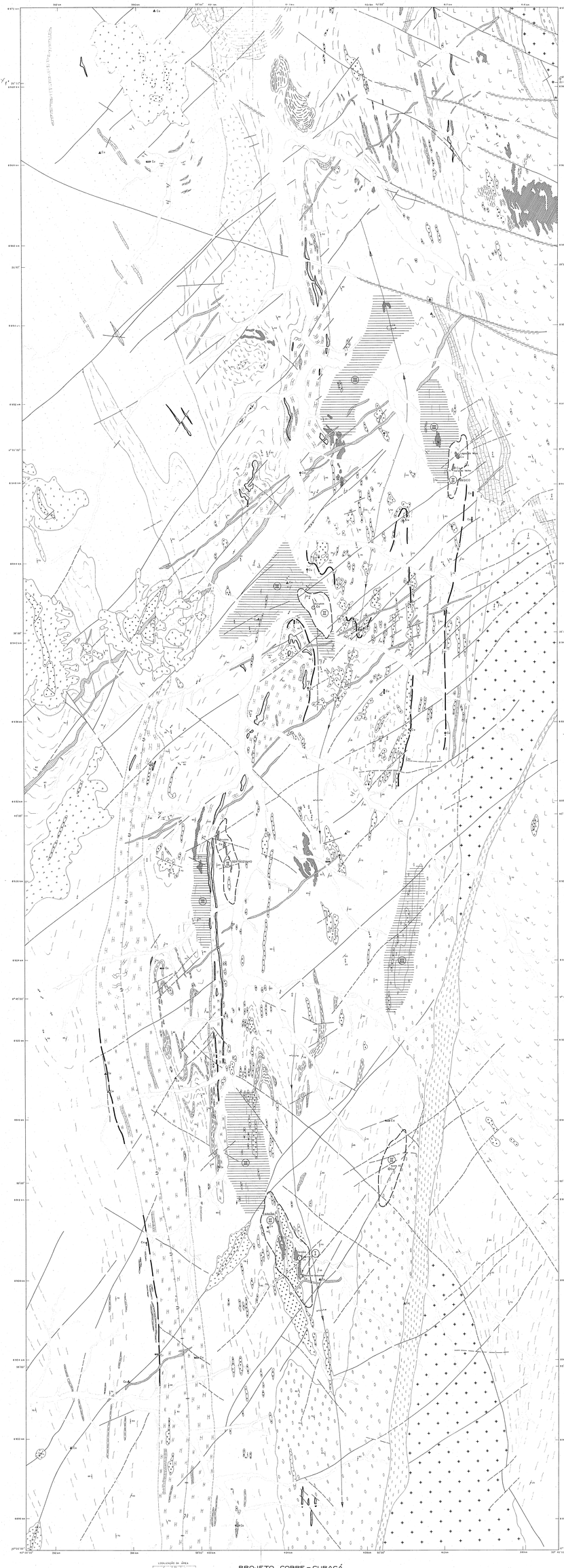

CONVENÇÕES

SÍMBOLOS GEOLÓGICOS

- Talus
- Unidade vermelha
- Unidade vermelha
- Dique de quartzo
- Dique de diabásio

ROCHAS GRANITÓIDES E METASSOMATITOS

- Granito rosado a cinza
- Vulcanito
- Vulcanito granitóide
- Granitos porfiroblásticos
- Sienito
- Granito gnáissico grosseiro

SEQUÊNCIA YANQUE NOVO

- Unidade Bispo
- Unidade Gangue
- Unidade Bom Conselho

SEQUÊNCIA RIO CURAÇÁ

LITOLOGIAS INDIVIDUALIZADAS NAS SEQUÊNCIAS YANQUE NOVO E RIO CURAÇÁ

- Quartzito Ni-Fero
- Cloro-xistos
- Corpos serpentinosos
- Corpos anfibolíticos
- Corpos gábrico-dioríticos
- Corpos xistos-grauvaquianos intercalados na Sequencia Rio Curaçá
- Corpos xistos-grauvaquianos intercalados na Sequencia Yanque Novo

SÍMBOLOS ESTRUTURAIS

- Xistosidade
- Falhas de cisalhamento
- Falhas normais de tensão
- Falhas e/ou fraturas normais de tensão
- Eixo de anticlinório
- Eixo de sinclinal provável
- Eixo de monoclinal
- Lineação estrutural
- Contato aproximado
- Contato duvidoso

LINEAMENTOS DE OCORRÊNCIAS CUPRÍFERAS

TIPOS GENÉTICOS DAS MINERALIZAÇÕES DE COBRE

- Cu — Singenéticos, sulfetos de ferro e cobre finamente disseminados em complexos máficos-ultramáficos, teor médio de 0,1% Cu, oxidação superficial pouco ou ausente
- Cu — Singenéticos, parcialmente remobilizados, sulfetos de cobre e ferro em complexos máficos-ultramáficos, teor médio de 1,0 % Cu, oxidação superficial até 0,15 ou 30 m de profundidade
- Cu — Epigenéticos de cobre em veios de quartzo encaixados em rochas metamórficas
- Cu — Epigenéticos de cobre em veios de quartzo encaixados em rochas graníticas
- Cu — Teores de cobre em zonas de falha cortando complexos ultramáficos intrusivos e metassedimentos, associados com mobilizados hidrotermais pegmatóides
- Cu — Teores de cobre em zonas de falha cortando gnaisses, associados com mobilizados pegmatóides e hidrotermais
- Cu — Ocorrência de indícios de cobre sem indicações

TAMANHO DOS DEPÓSITOS DE COBRE

- > 500.000t de Cu metálico
- De 100.001t a 500.000t de Cu metálico
- De 50.000t a 100.000t de Cu metálico
- De 10.000t a 50.000t de Cu metálico

UNIDADES ESPACIAIS METALOGÊNICAS INDIVIDUALIZADAS NO DISTRITO

CORPOS

1 - Corpo de Caraíba
2 - Corpo de Baraúna - Imburana
3 - Corpo de Surubim
4 - Corpo de Lagoa do Mine
5 - Corpo de Curaçá Velho
6 - Corpo de Pirauna

CAMPOS

1 - Campo da Caraíba
2 - Campo de Surubim
3 - Campo de Angico
4 - Campo de Surubiminha
5 - Campo de Santa Fé

PLANO INTEGRADO DE PESQUISA DO DISTRITO

- I — Programa I - Pesquisa dos corpos de Caraíba e Baraúna-Imburana
- II — Programa II - Pesquisa dos campos mineralizados
- III — Programa III - Pesquisa das áreas prospectáveis, definida em função dos contextos da mineralização

Declinação magnética

PROJETO COBRE – CURAÇÁ

LOCALIZAÇÃO DA ÁREA

ESCALA 1:50.000

1975

CPRM — SUREG/SALVADOR — DNPM

MAPA PRELIMINAR METALOGÊNICO PREVISIONAL DO DISTRITO CUPRÍFERO DO RIO CURAÇÁ

TÉCNICOS RESPONSÁVEIS

Ondino de Medeiros Delgado

João Batista de Souza

ANEXO XI

Tec. Executor V Wanda - 09.1975

MINISTÉRIO DAS MINAS E ENERGIA

DEPARTAMENTO NACIONAL DA PRODUÇÃO MINERAL

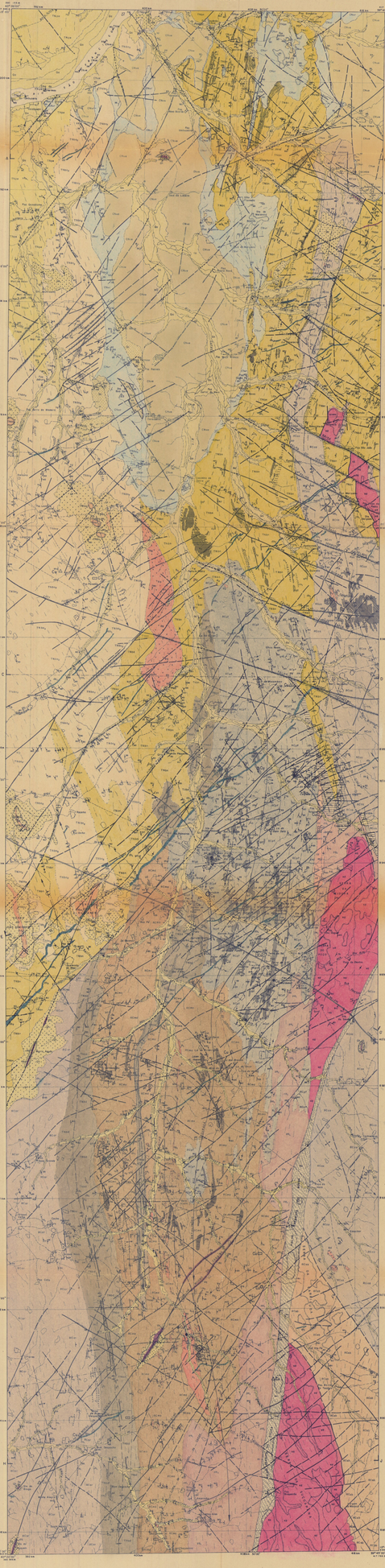

CONVENÇÕES

CENOZÓICO — QUATERNÁRIO

Aluvião (Qa), Talus (Qt), Eluvio laterítico com seixos de quartzo (Qe), e Colluvio grosso - arcoses subfelsíticas ou argilo-arenosas caoliníferas (Qc)

Dique de quartzo

EO-CAMBRIANO — GRUPO CHAPADA DIAMANTINA

UNIDADE VENEZA - Quartzo-feldspato-micaxisto e subordinadamente grosso-micaxisto com alguns níveis de quartzito e conglomerado polimítico localizado.

UNIDADE VERMELHOS - Celluloi micaxisto-filito geralmente laterizado com alguns de meta-arcósios (sa) e quartzitos (qm) localizados.

Dique de quartzo milonitizado ou cataclasado

Diques básicos (db) - diabásio (db) e gabro ofítico grosseiro (do)

Milonito, blastomilonito e cataclasito da Falha Serrote da Sousa

PRÉ - CAMBRIANO - INFERIOR (?) — GRUPO CARAÍBA — ROCHAS GRANÍTICAS METAMÓRFICAS E METAMORFISADAS

UNIDADE CAPIVARA - Anfibolito-biotito-gnaisse dioritítico, cataclástico e epidotizado

Dique de granito porfiroclástico

Granito gnáissico grosseiro a homogêneo a biotito

Granodiorito rosa de granulação média a grosseira

Granito rosa fino (g_1), granito ou adamellito cinza (g_2) e granito rosa grosseiro (g_3)

Biotito-gnaisse porfiroclástico e biotito-hornblenda-gnaisse porfiroclástico de cor rosa a cinza (pg). Anfibolito-efelenito e biotito-augen-gnaisse muito grosseiro e de cor cinza (ag).

Xenito gnáissico Poço de Furo - Irwão.

ROCHAS MÁFICAS ULTRAMÁFICAS

Níveis de quartzito feldspático intercalados na Sequência Tanque Novo e raramente na Sequência Rio Curaçá

Níveis de rocha cálco-silicatada (ca_1), incluindo diopsidito (ca_2), intercalados na Sequência Tanque Novo

N_1 - Corpos constituídos de anfibolito, N_2 - corpos constituídos de anfibolito e subordinadamente rocha, dunito, gabro, norito e piroxenito, encaixados na Sequência Rio Curaçá e Tanque Novo

Corpos constituídos de gabro e dunito, a_1 subordinadamente, anfibolito, dunito, gabro e serpentinito, encaixados nas Sequências Rio Curaçá e Tanque Novo

Corpos constituídos de peridotito a dunito, a_1 subordinadamente, anfibolito, dunito, gabro e serpentinito, encaixados nas sequências Rio Curaçá e Tanque Novo

Corpos constituídos de serpentinito e piroxenito serpentinizado, a_1 subordinadamente, anfibolito, dunito, gabro, norito, piroxenito, encaixados nas sequências Rio Curaçá e Tanque Novo

PRÉ - CAMBRIANO - INFERIOR (?) — GRUPO CARAÍBA — SEQUÊNCIA TANQUE NOVO

UNIDADE PEDREIRAS - Migmatito "arcoseano" a hornblenda e biotito a diatexito "anatexítico" a biotito e granada

UNIDADE BODÓ - TTBGn, quartzo muito recristalizado frequentemente fumoso e, às vezes, feldspatizado; TTBGn, quartzo-feldspato-granada-gnaisse, grosso acinzentado, predominante migmatizado, com intercalações, às vezes bandadas, de anfibolito (a_1) e menos comumente quartzito ferrífero (gf) e biotito cálco-silicatado (ca_2).

UNIDADE BANDUÉ - Biotito-hornblenda-gnaisse bandado, grosso fêlsico a subordinadamente granulítico, migmatizado, com intercalações delgadas nem sempre individualizáveis de anfibolito (a_1,a_2) e menos comumente de rocha cálco-silicatada (ca_1,ca_2) e piroxenito (pn)

UNIDADE BOM DESPACHO - Biotito gnaisse migmatizado a subordinadamente anatexito, com abundantes intercalações delgadas nem sempre individualizáveis de rocha cálco-silicatada (ca_2) incluindo diopsidito (ca_1), quartzito granatífero (q) e em zonas o quartzo-feldspato-granada, anfibolito (a_1,a_2), quartzito ferrífero (gf) e ocasionalmente grafita (g)

UNIDADE CAFUNDÓ - Migmatito heterogêneo a biotito e, subordinadamente, a hornblenda e biotito, com intercalações delgadas de anfibolito.

UNIDADE ARAÇÁ - Biotito-gnaisse porfiroclástico migmatizado, com abundantes níveis nem sempre individualizáveis de anfibolito passando lateral e verticalmente a quartzo-feldspato-gnaisse.

UNIDADE BARI - Biotito-gnaisse migmatítico e subordinadamente biotito-hornblenda-gnaisse migmatítico de estrutura "schlieren" a nebulítico, com intercalações delgadas de anfibolito.

UNIDADE SERRA DA BARRIGUDA - Biotito-ortopiroxênio granulito com lentes de granulito básico. Efeitos de migmatização presentes.

UNIDADE POÇO DO FORA - Gnaisses charnoquíticos e granulitos básicos/ácidos, com intercalações delgadas de anfibolito. Efeito de migmatização complexo.

O posicionamento, ou idade, das unidades litológicas da Sequência Rio Curaçá e desprovido de correlação cronológica.

CONTATOS ESTRATIGRÁFICOS

(1) Definido
(2) Aproximado
(3) De transição
(4) Suposto
(5) Encoberto

CONTATOS LITOLÓGICOS

(1) Aproximado
(2) De transição
(3) Suposto
(4) Encoberto

Falha definida
Falha definida com movimento
Falha de rasgamento
Falha normal com indicação do movimento relativo dos blocos
Falha ou fratura provável
Falha ou fratura encoberta
Fratura menor inclinada
Fratura menor vertical
Eixo de sinclinório
Eixo de homoclinório ou monoclinal
Braquianticlinal
Anticlinal com mergulho axial Periclinal subindo provável
Anticlinal invertido provável com mergulho axial
Anticlinal invertido provável com inversigação subindo suposta
Sinclinal com mergulho axial Periclinal subindo provável
Sinclinal provável
Sinclinal invertido provável com inversigação suposta
Sinclinal invertido provável com inversigação subindo suposta
Monoclinal com mergulho axial
Orientação e sinmento de estrias (slickensides)
Acamamento inclinado
Acamamento com mergulho indicado
Acamamento horizontal
Acamamento vertical
Foliação inclinada
Foliação com mergulho indicado
Foliação vertical
Zona de cisalhamento com mergulho indicado
Zona de cisalhamento
Lineamento estrutural

TIPOS GENÉTICOS DAS MINERALIZAÇÕES DE COPPER

● Cu — Singenéticos, sulfetos de ferro e cobre finamente disseminados em complexo máfico-ultramáfico, teor médio de 0,1% Cu, oxidação superficial fraca ou ausente.

✪ Cu — Singenéticos, parcialmente remobilizados, sulfetos de cobre e ferro em complexo vulcano proterozóico; teor médio de 1,0% Cu, oxidação superficial até 100 m. Min. de profundidade

▭ Cu — Epidermais de cobre em complexo gnáissico bandeado, associados com mobilizados hidrotermais

▯ Cu — Epidermais de cobre em zonas de falha contendo intenso silicificação cianitização e K-feldspatização, associados com mobilizados hidrotermais pegmatóides.

△ Cu — Epidermais de cobre em zonas de falha sericítica grafitosa, associados com mobilizados pegmatóides - hidrotermais.

▽ Cu — Ocorrências de epidermais de cobre sem indicações.

TAMANHO DOS DEPÓSITOS DE COPPER

○ > 500.000 t de Cu metálico
◎ De 100.000 t a 500.000 de Cu metálico
◉ De 50.000 t a 100.000 t de Cu metálico
○ De 10.000 t a 50.000 t de Cu metálico

CONVENÇÕES GEOGRÁFICAS

Rodovia federal — Estrada principal — Caminho carroçável — Poços
Limite de municipio — Lagoas ou açudes — Rios e riachos — Elevações

A — Seção geológica — B

Declinação magnética

MAPA DE LOCALIZAÇÃO

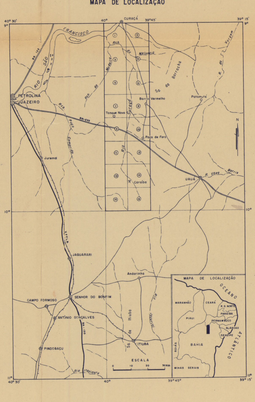

PROJETO COBRE - CURAÇÁ

MAPA GEOLÓGICO DO DISTRITO CUPRÍFERO DO RIO CURAÇÁ

ESCALA 1:100.000 (Após)

1974

BASE PLANIMÉTRICA COMPILADA A PARTIR DE MAPAS ORIGINALMENTE CONFECCIONADOS EM ESCALA 1:25.000 PELO PROJETO RADAM, COM BASE EM FOTOGRAFIAS AÉREAS EM ESCALA 1:70.000, PERTENCENTES PELA BASE AÉREA DO RECIFE, DE 1968 A 1971.

GEOLOGIA INTEGRADA A PARTIR DE MAPAS GEOLÓGICOS NA ESCALA 1:25.000

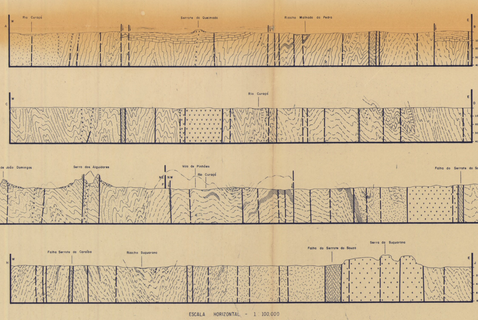

ESCALA HORIZONTAL - 1:100.000

ESCALA VERTICAL - 1:40.000 (Aproximado)

Aluvião — Talus — Dique de quartzo — UNIDADE VENEZA (Grupo Caboclo) — UNIDADE VERMELHOS (Grupo Caboclo) — Diabásio ou gabro ofítico grosseiro — Milonito, cataclasito — Zona granitizada — Granito gnáissico grosseiro — Granito — Cálco - silicatada — Quartzito ferrífero — Quartzito granatífero — Anfibolito — Gabro - diorito — Serpentinito — UNIDADE BODÓ (Sequência Tanque Novo) — UNIDADE BANDUÉ (Sequência Tanque Novo) — UNIDADE BOM DESPACHO (Sequência Tanque Novo) — Sequência Rio Curaçá

CPRM — DNPM

AGÊNCIA SALVADOR

MAPA GEOLÓGICO

EQUIPE EXECUTORA DO MAPEAMENTO

JOÃO JULIÃO DE SOUZA - Folhas 6,8,9 e 10
LUIZ FRANCISCO PIZARRO FERDINANDI - Folhas 1,2,3 e 4
MARIANO ALVES DE SOUZA FILHO - Folhas 11 e 12
EDSON PINTO FIGUEIRA - Folhas 5 e 7
E. A. LAGESKA e H. BROEKERS (in Memoriam) - Folhas 13,14 e 15

INTERPRETAÇÃO E REVISÃO FINAL

JOÃO JULIÃO DE SOUZA
MÁRIO DE MEDEIROS DELGADO

ANEXO-XII

DES. Emanuel V. Miranda - 01/75